



Araştırma Makalesi / Research Article

KİTOSAN BİYOPOLİMERLERİYLE ÇAPRAZ BAĞLANMIŞ YÜKSEK ELASTANLI POLİAMİD 66 BASINÇLI GIYSİLERİN TERMOFİZYOLOJİK KONFOR ÖZELLİKLERİİN ANALİZLERİ

Nilüfer Yıldız VARAN*

Pamukkale Üniversitesi, Tekstil Mühendisliği Bölümü, Denizli, Türkiye

Gönderilme Tarihi / Received: 15.04.2017

Kabul Tarihi / Accepted: 22.07.2017

ÖZET: Kitosan çeşitli bakteri ve mantarlara karşı antimikrobiel özellik gösteren bir biyopolimerdir. Çalışmada kitosan bariyerleri kullanılarak yanık yaralanmalarının tedavisinde kullanılan basınçlı giysilerin verimliliğini ve fonksiyonlarını artırmak amaçlanarak kitosan ile çapraz bağlanmış çeşitli poliamid/elastan kumaşların konfor özellikleri incelenmiştir. Basınçlı giysilere kalıcı antimikrobiel özellik kazandırmak için, kitosan, dimetilol dihidroksietilenüre (DMDHEU) ile çapraz bağlanmış, daha sonra poliamid 66/elastan kumaşlara bağlanmıştır. Elde edilen powernet, düz çözgülü örme ve atkılı örme yapısındaki poliamid 66/elastan kumaşlar, toplam termal direnç (R_{ct}) $[(^{\circ}\Delta C)(m^2)/W]$ ve toplam izolasyon değerleri (I_t) [clo] açısından analiz edilmiştir ve DSC analizleri yapılmış ve sonuçlar değerlendirilmiştir. Sonuç olarak, kontrol ve işlem görmüş kumaşlar arasındaki korelasyon verilmiştir. Termofizyolojik test sonuçlarına göre kitosanla çapraz bağlanmış kumaşlar termofizyolojik konfor sağlamaktadır. Powernet yapıdaki kumaşlar en düşük termal direnç (0.394-0.400) gösterirken düz çözgülü örme kumaşlar en yüksek termal direnci (0.495) göstermiştir. Bu sonuçlara göre, kitosanla çapraz bağlandıktan sonra kumaş numuneleri mikroklima ortamı sağlayarak ve hastaların aşırı terlemesini önleyerek konfor sağlayabilecek, böylece enfeksiyon risklerini de önleyebilecektir.

Anahtar Kelimeler: Konfor, kitosan, poliamid 66, elastan, çapraz bağlanma, basınç

ANALYSES OF THE THERMOPHYSIOLOGICAL COMFORT PROPERTIES OF HIGHLY ELASTANE POLYAMIDE 66 COMPRESSION GARMENTS CROSSLINKED WITH CHITOSAN BIOPOLYMERS

ABSTRACT: Chitosan is a biopolymer having antimicrobial activities against various bacteria and fungi. Comfort properties of various types of nylon 66/spandex fabrics crosslinked with chitosan were studied. aiming to increase the effectiveness and functions of compression fabrics used in burn scar treatments by providing infection protection with chitosan barriers. Chitosan is cross-linked with dimethylol dihydroxyethyleneurea (DMDHEU) then binds onto nylon 66/spandex fabrics to progress pressure garments with permanent antimicrobial activity. The obtained nylon 66/spandex fabrics in powernet, flat warp knitted and weft knitted structures were analyzed via total thermal resistance (R_{ct}) $[(^{\circ}\Delta C)(m^2)/W]$, and total insulation values (I_t) [clo] and DSC analyses were conducted and the results were evaluated. Finally, correlation between the thermal resistance for control and treated samples were given. The thermophysiological test results showed that samples crosslinked with chitosan provide thermophysiological comfort. The powernet fabrics showed the lowest thermal resistance (0.394-0.400) while the flat warp knitted fabrics showed the highest thermal resistance (0.495). These results show that after crosslinked with chitosan, the fabric samples can provide comfort by providing microclimate and preventing excess sweating of patients, thus can prevent infection risks.

Keywords: Comfort, chitosan, polyamide 66, spandex, crosslinking, compression

* Sorumlu Yazar/Corresponding Author: niluferyildizny@yahoo.com

DOI: 10.7216/1300759920172410707, www.tekstilmuhendis.org.tr

1. GİRİŞ

Basınçlı giysiler, temel olarak derinin sadece dış ve iç tabakalarını değil, aynı zamanda daha derin tabakalarını da etkileyen üçüncü derece yanıkların tedavisinde kullanılmaktadır [1]. Yanık deri iyileştiğinde düzensiz bir şekilde hastanın hareket kabiliyetini etkileyen skar doku kütlesi oluşmaktadır. Hipertrofik skarların tedavisinde uygulanan bası tedavisinde, basınçlı giysiler yardımıyla, etkilenen bölgeye devamlı olarak basınç uygulamakta ve düzensiz durumda skar doku kütlesi düzeltilmektedir. Basınçlı giysiler, derinin üzerine devamlı ters şekilde basınç uygulayarak, skar doku kütlesini azaltmakta ve derinin düzgün bir şekilde iyileşmesini sağlamaktadır [2-4]. Basınçlı giysilerin devamlı kullanılması, hipertrofik skar oluşumu ile görülen kalınlaşma, burulma ve yumrulanma oluşumlarını önlemektedir. Giysiler tarafından uygulanan dış basınç yardımı ile iltihap oluşumu önlenmekte, skar içine akan kan miktarı azaltılmakta, kaçınma indirgenmekte ve kolajen sentezi önlenmektedir. Bununla birlikte, basınçlı giysiler çarpma ve yaralanmalara karşı da ek bir koruma sağlamaktadır. Bu giysiler, iyileştirme sağlayabilmek için skar alanının büyülüğine göre haftalarca veya aylarca giyilmelidir. Bilimsel olarak kıyaslanabilecek bir basınç değeri belirlenmemiş olmasına rağmen, genel olarak varılan kami, ideal bir basınçlı giysisinin alt deride 20 mmHg basınç oluşturması gerektidir [5-9]. Düşükten yüksek lenföde me sahip hastalara göre, en iyi yaklaşım ideal medikal basınçların (0mmHg – 50mmHg) aralığında olmalıdır. Aşırı derecede düşük lenföde me sahip bazı hastalar için düşük basınç ($4.82\text{mmHg} \pm 2.99\text{mmHg}$) istenmektedir. Ayrıca kalbe yakın bölgelerde üst vücut uygulamalarında (0mmHg – 20mmHg) aralığındaki değerlerde daha düşük basınçlar önerilmektedir. Basınçlı giysiler, genellikle elastik iplikler içermekte ve karakterize edilmeleri ve yeni giysilerin üretilmesi için dünya çapında çok sayıda araştırma ve geliştirme çalışmaları yürütmektedir [10-14].

1.1. İyileşme Prosesi için Uygulanan Basınçlar

Basınçlı giysiler, vücudun dış kısmında kullanılan materyallerdir ve mekaniksel özellikleri başta olmak üzere birçok önemli özelliğe de sahip olmaları beklenmektedir. Hastalar üzerinde uygulanan basınç miktarını direkt olarak etkilediğinden basınçlı giysilerin en önemli özelliği gerilimleridir (Nm^{-1} içinde). Kullanılan lif tipi ve kumaş konstrüksiyonu, giysilerin uyguladığı basınç miktarı üzerinde önemli bir etkiye sahiptir. Hipertrofik skar özelliklerine göre basınçlı giysiler, uyguladıkları basınç kuvvetleri açısından “düşük” ve “yüksek” basınçlar olarak ikiye ayrılmaktadır. Bunun yanında, kullanılan giysinin istenilen düzeyde basınç sağlayabilmesi için kullanacak hastanın bedeninden küçük olmalı ve iyileşme sağlanabilmesi için günde 23 saatten 12 ay boyunca uygulanan basınç miktarı korunabilmelidir.

1.2. Biyolojik Enflamatuar Yanıt

Günümüzde hastaların yanık tedavilerinde önemli gelişmeler kaydedilmiştir. Örneğin; bu yüzyılın yarısına kadar, orta derecede yanıklar bile ölümcül özellik taşımaktaydı. Bu süre

îçerisinde katkı sağlayan gelişmelerle, sıvının ölü hücrede yeniden canlandırılması ve yanık ünitelerinin kurulması ölüm oranını azaltmıştır [15-18]. Hastalara uygulanan sistemik ve lokal antimikrobiyal maddelerdeki gelişmeler, yoğun bakım süreçleri ve gıda destekleri, cerrahi alandaki ilerlemeler, yara bakımındaki gelişmeler, derinin korunması alanındaki yeni teknikler, ciddi yanıkların tedavisindeki yoğun bakımın özel bakım evlerinde yapılmaya başlanması gibi birçok alanda ilerleme sağlanmıştır. Bu gelişmelerin yanında, iyileşme sürecinde tekstillerin kullanılması oldukça önemlidir [19-21]. Ürünlerine antimikrobiyal özellik kazandıracak sağlık sektörüne kumaş sağlayan üreticilerin sayısı geçtiğimiz yıllarda önemli ölçüde artmıştır. Çeşitli özelliğe ve mekanizmaya sahip antimikrobiyal maddeler kullanılarak, tekstillerde antimikrobiyal özellik kazanılabilmektedir [22-24]. Bu kimyasallar arasında yer alan kitin ve kitosan biyolojik özelliğe sahiptir. Biyolojik özellikleri içerisinde en önemlileri; insan hücreleriyle biyolojik uyumluluk gösterebilmesi, yaralı dokuları düzenli yenileyebilme yeteneği, gelişmiş bağışıklık aktivitesi, ani hemostazi başlatması, radikal temizleme ve çeşitli bakteri ve mantarlara karşı antimikrobiyal aktiviteleridir [25]. Kitosanın birkaç farklı antimikrobiyal mekanizması olduğu bilinmekte, fakat gerçek mekanizması hala anlaşılamamaktadır. Bunlar içinde en kabul göreni ise pozitif yükli kitosanın, hücre yüzeyindeki negatif yükli birçok mantar ve bakteri atıklarıyla etkileşime geçebilmesi ve büyük bir hücre değişimine neden olarak hücre geçirgenliğini azaltmasıdır [26,27]. Kitosanın, mükemmel biyolojik uyumluluğu sayesinde sağladığı pozitif özellikler ve çok iyi biyolojik bozunurluluk özelliği göstermesinin yanısıra, ekolojik güvenirlilik, düşük toksisite, antimikrobiyal özellik ve düşük immünojenitesi gibi çok yönlü biyolojik aktivite özelliklerine sahip olması, gelecekteki gelişmeler için geniş fırsatlar sağlamıştır [28-33].

1.3. Basınçlı Giysilerden İstenilen Konfor Özellikleri

Yanık skar dokusu üzerinde iyileşme sağlayabilmek için basınçlı giysilerin tedavi süresince günde 24 saat kullanılması ve vücuttan fazla ışığı atarak ve hava sirkülasyonu sağlayarak hastalara konfor sağlama gerekmektedir. Yeterli nem sağlayarak yaralı bölgede istenilen konfor oluşturulmakta, böylece yara iyileştirme hızları arttırmakta ve yanık skar bölgelerinde ıslak ortamdan kaynaklanan yaralanmalar da önlenemektedir. Böylece, hastalar için ideal iyileştirme ortamı oluşturulabilmekte ve fazla hastane masrafları da önlenemektedir.

Bu çalışmada, kitosan bariyerleri kullanılarak yanık yaralanmanın tedavisinde kullanılan basınçlı giysilerin verimliliğini ve fonksiyonlarını artırmak amaçlanmıştır. Poliamid 66/elastan kumaşlar, kitosanla çapraz bağlandıktan sonra, elde edilen materyaller sayesinde hastaların tedavi sürecinde aşırı terlemesi önlenerek mikroklima ortamı ve konfor sağlanarak enfeksiyon riskleri önlenecektir.

2. MATERİYAL VE METOD

2.1. Materyal

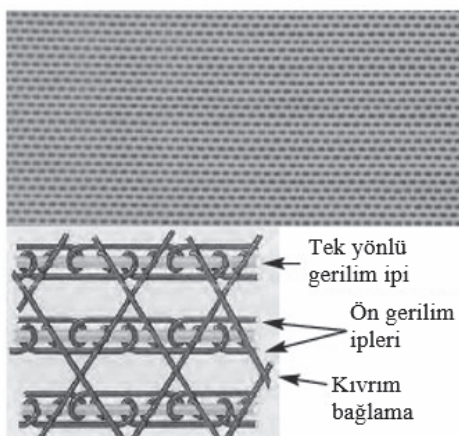
Kumaş özellikleri Tablo 1'de listelenmiştir. Kumaşlar %25'den fazla elastan içermektedir. Powernet ve düz çözdüğü örme

kumaşlar, 70/30 poliamid 66/elastan içerirken, atkılı örme kumaşlar, 75/25 poliamid 66/elastan içermektedir. Kumaş kalınlıkları (0.50-0.62 mm), kumaş gramajları ($164-277 \text{ g/m}^2$), arasındaki değerlerdedir.

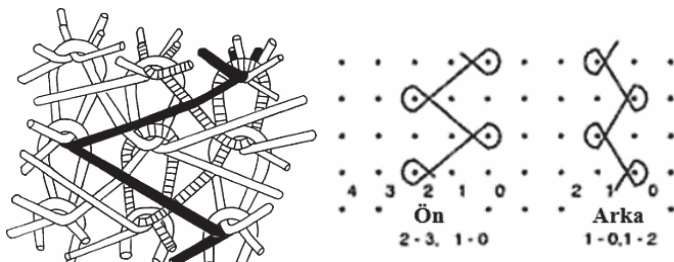
Tablo 1. Kumaş özelliklerini

Kumaş Tipi	Özellikler	Değerler
Powernet Çögzülü Örme	Poliamid 66/Elastan Kalinkılık (mm) Gramaj (g/m^2)	70/30 0.50 241
Düz Çögzülü Örme	Poliamid 66/Elastan Kalinkılık (mm) Gramaj (g/m^2)	70/30 0.57 164
Atkılı Örme	Poliamid 66/Elastan Kalinkılık (mm) Gramaj (g/m^2)	75/25 0.62 277

Çalışmada kullanılan powernet çögzülü örme kumaşlar, elastan ipliklerinin yatırılarak oluşturulduğu raşel çögzülü örme kumaşlardır (Şekil 1). Bir cm'deki ilmek sıra sıklığı 13, ilmek çubuk sıklığı 17'dir. Kullanılan düz çögzülü örme kilit kumaşlar, ön ray iki ilmek yarımlı, arka ray tek ilmek yarımlı, enine esneklikleri yüksek ve düzgün yüzeye sahip kumaşlardır (Şekil 2). Bir cm'deki ilmek sıra sıklığı 27, ilmek çubuk sıklığı ise 20'dir.



Şekil 1. Powernet çögzülü örme kumaş yapısı



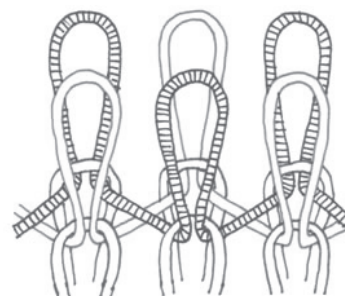
Şekil 2. Çögzülü kilit örme kumaş yapısı

Kullanılan atkılı örme kumaşlar, 1x1 ribana yapısında, her iğne yatağındaki tüm iğnelerin kullanılarak üretiltiği çift plaka

örgülerdir ve enine yönde esneklikleri yüksek kumaşlardır (Şekil 3). Bir cm'deki ilmek sıra sıklığı 24, ilmek çubuk sıklığı 26'dır.

Kullanılan kitosan (ortalama molekül ağırlığı= $1,5 \times 10^5$) Vanson Inc. firmasından sağlanmıştır ve kullanılan diğer kimyasallar analitik olarak saf halde temin edilmiştir.

Basınç ölçümü için üzerine devre ilişirilmiş ultra ince ve esnek kablosuz ticari basınç sensörleri ve prototip bir manken kullanılmıştır.



Şekil 3. 1x1 ribana atkılı örme kumaş yapısı

2.2. Kitosanın Poliamid 66 Numuneler Üzerine Çapraz Bağlanması

150 g ham poliamid kumaş tartılmış ve yıkanmıştır (0.5 g/L kompleks oluşturucu maddesi, 2 g/L nonyonik, oksilfenol etoksilat yüzey aktif maddesi, 2 g/L sodyum karbonat, 1:20 flotte oranı içerisinde). Yıkama işlemi 80°C 'de 60 dk. sürmüştür. Kumaşlar daha sonra 38°C 'de 90dk durulanmış ve konveksiyonel etüv 50°C 'de 30 dk kurutulmuştur. %1.0 g kitosan %2.0 laktik asit içeren çözeltilere eklenmiş ve 20.5°C 'de kitosan tamamen çözünunceye kadar devamlı karıştırılmıştır. %0.1 g/ml ve %0.08 g/ml DMDHEU, %1 g/ml kitosan ile tepkimeye girmiş ve her bir karışım 20.5°C 'de 24 saat karıştırılmıştır. Bu karışımalar, kitosanın kumaş numunelerine bağlanması için kullanılmıştır. Her bir deney için, her kumaş numunesinden 3.0 g tartılmış ve flotte oranı 1:16 olarak kullanılmıştır. Terbiye işlemi 20.5°C 'de 20 dk sürmüştür. Numuneler daha sonra 50°C 'de 30 dk konveksiyonel fırında kurutulduktan sonra, 130°C 'de 2 dk fırında fiks edilmiştir.

2.3. Kablosuz Basınç Sensörleri Kullanılarak Basınçların Ölçülmesi

Basınçlar, baldır ve ayak bileğinden tasarlanmış her bir kumaş tipi için 10 kez tekrarlanarak ölçülmüştür. Uzuvlardan alınan final basınçları, baldır ve ayak bileğinden alınan basınçların ortalaması alınarak hesaplanmıştır.

2.4. Konfor Özellikleri

İki yıla kadar giyilen yanık yaralanmalarında kullanılan basınçlı giysilerin konfor performanslarını değerlendirmek için termofizyolojik özellikleri test edilmiştir. Basınçlı giysiler termofizyolojik konfor özelliklerini terbiye işleminden önce ve sonra koruyabilmelidir. Termofizyolojik konfor özelliklerini test

etmek için, (50cmx50cm) boyutlarında numuneler hazırlanmış ve ASTM F-1868 Test Metodu kullanılarak ve her bir numune için 10 kez tekrarlanarak test edilmiştir [38]. Numuneler terbiyeden önce ve sonra olmak üzere termal dirençleri (R_{ct}) ve izolasyon özellikleri (clo birimi) açısından test edilmiştir.

2.5. DSC (Diferansiyel Tarama Kalorimetresi)

Perkin Elmer Diamond 7 DSC cihazı kullanılarak, çapraz bağlı poliamid 66/elastan numunelerinin termal geçişleri belirlenmiştir. DSC prosedüründe, (3-5 mg) ağırlığında küçük miktarda bir numune alüminyum kalıp içerisinde preslenmiş ve ısıtma-soğutma-ısıtma devirleri 0°C-100°C arasında uygulanmıştır. İlk ısıtma devirinden sonra, numune 0°C'ye soğutulmadan önce, 1 dk 100 °C'de tutulmuştur. İlk ısıtma, başarılı 10°C/dk'lık soğutma ve ısıtma devirleriyle, 20°C/dk' da gerçekleştirılmıştır. DSC analizi üç kez tekrarlanmıştır.

2.6. Antimikrobiyal Aktivite

Kitosan işlemi görmüş kumaşlar AATCC 100 Test Metoduna göre Staphylococcus aureus mikroorganizması kullanılarak test edilmiştir [35]. Değişkenler denklem 1 kullanılarak hesaplanmıştır.

$$R = 100(C-A)/C$$

R, bakteri azalmasındaki oranı, A, numune ile temas etmiş olan nötralizasyon çözeltisi içinde bulunan mikroorganizma sayısını, C, başlangıç anında kontrol numune ile temas etmiş olan çözeltideki mikroorganizma sayısını göstermektedir.

3. SONUÇ VE TARTIŞMA

3.1. Basınç Ölçümleri

Kitosan ile işlem görmüş numunelerinin ve işlem görmemiş kontrol numunelerinin baldır ve ayak bileğine uyguladığı basınçlar 10 kez tekrarlanarak ölçülmüştür. Terbiye işleminden önce, basınçlar (5.0mmHg – 5.7mmHg) olarak gözlemlenmiştir. Bu aralıktaki değerlerin istenilen medikal aralıktaki olduğu görülmüştür. Ayak bileğinden ölçülen kontrol ve işlem görmüş numunelerde basınçların daha yüksek değerlerde olduğu gözlemlenmiştir.

Test edilen numunelerin ortalama basınçları (5.0mmHg – 6.0mmHg) ve standart sapma değerleri Tablo 2'de görülebilir.

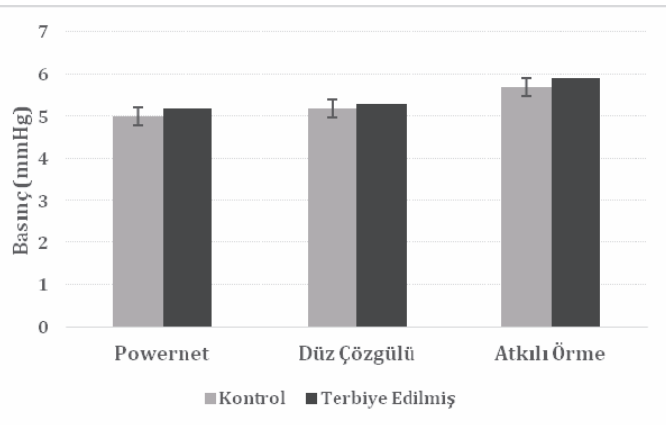
Kitosan ile işlem görmüş numunelerin final basınçlarında küçük önemli bir artış görülmüştür (Tablo 3). Atkılı örme kumaşlar, diğer kumaşlara göre en yüksek basınç değerlerini vermiştir (Şekil 4). Bu durum, atkılı örme kumaşlarının çözgülü örme kumaşlardan daha elastik bir yapıya sahip olması ve bu nedenle işlemler süresince yapısında küçük önemli bir çekmeye maruz kalmasına bağlanmıştır.

Tablo 2. Kitosan ile işlem görmüş numunelerin ortalama basınçları (mmHg)

Lokasyon	Kumaş Numuneleri	Terbiyeden Önce Basınç (mmHg)	Terbiyeden Önce Standart Sapma	Terbiyeden Sonra Basınç (mmHg)	Terbiyeden Sonra Standart Sapma	Basınç Artışı %
Ayak Bileği	Powernet	5.2	0.13	5.4	0.19	3.8
	Düz Çözgülü	5.4	0.20	5.5	0.11	1.8
	Atkılı Örme	5.8	0.17	6.0	0.21	3.4
Baldır	Powernet	4.8	0.15	5.0	0.17	4.2
	Düz Çözgülü	5.0	0.43	5.1	0.13	2.0
	Atkılı	5.6	0.14	5.8	0.28	3.6

Tablo 3. Ortalama final basınç değerleri (mmHg) ve kitosan ile terbiye işlemi görmüş numunelerin final basınçlarındaki artış miktarları

Kumaş Numuneleri	Final Basınçlar (mmHg)				Basınç Artışı %
	Terbiyeden Önce Basınç (mmHg)	Terbiyeden Önce Standart Sapma	Terbiyeden Sonra Basınç (mmHg)	Terbiyeden Sonra Standart Sapma	
Powernet Çözgülü Örme	5.0	0.17	5.2	0.16	4.0
Düz Çözgülü Örme	5.2	0.19	5.3	0.18	2.0
Atkılı Örme	5.7	0.28	5.9	0.17	3.5



Şekil 4. Kitosan ile terbiye işlemi görmüş numunelerin ortalama final basınçları (mmHg) (hata çubukları: \pm standart sapma)

3.2. Kontrol ve İşlem Görmüş Numunelerin Basınçları Arasındaki Korelasyon

Sonuçların regresyon analizlerinde, polinom formülü, $y = 12.579x^3 - 197.36x^2 + 1032.6x - 1796.4$, $r^2 = 0.9862$ olarak bulunmuştur. Bu regresyon analizine göre, kitosanla işlem görmüş numuneler ve kontrol numuneleri arasında fazlasıyla bir bağlantı olduğu ve dolayısıyla bir korelasyon olduğu görülmektedir (Şekil 5). Analiz sonuçlarına göre, kitosan antimikrobiel kimyasalının, final basınçları üzerinde önemli bir etkisi olduğu bulunmuştur.

3.3. Konfor Özellikleri

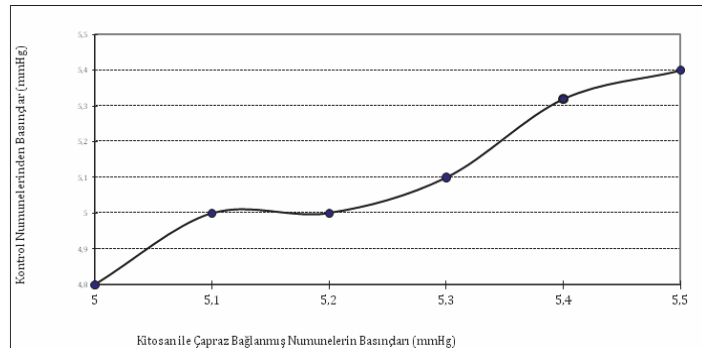
Termofizyolojik konfor test sonuçlarına göre, kitosan ile işlem görmüş kumaş numunelerinde, termal direnç (R_{ct}) (Tog) ve izolasyon (I_t) (clo) özelliklerini açısından küçük önemli bir artış gözlemlenmiştir. Sonuçlar Tablo 4'de sunulmuştur.

Toplam Termal Direnç (R_{ct}), [$(^{\circ}\Delta C)(m^2)/W$], Kumaş sisteminde yüzey hava tabakasını da kapsayan kuru ısı transferine (izolasyon) karşı toplam direnç,

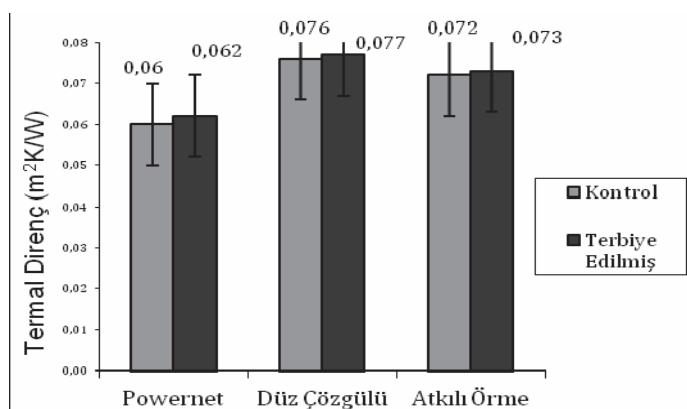
Toplam Izolasyon Değeri (I_t), [clo], Bir test materyalinin izolasyon yeteneğini ve termal direncinin clo biriminde ölçülmesini belirtir.

Tablo 4. Kitosan ile işlem görmüş ve görmemiş numunelerin terleyen termal sıcak plaka sonuçları

Kumaş Numuneleri	Kontrol		Kitosan ile İşlem Görmüş			
	R_{ct}	I_t	R_{ct}	R_{ct} Standart Sapma	I_t	I_t Standart Sapma
Powernet Çö zgülü	0.060	0.387	0.062	0.002	0.400	0.01
Düz Çö zgülü	0.076	0.488	0.077	0.001	0.495	0.001
Atkılı Örme	0.072	0.465	0.073	0.002	0.470	0.001



Şekil 5. Kontrol numunelerinden kitosan ile işlem görmüş numunelerin basınç değerleri

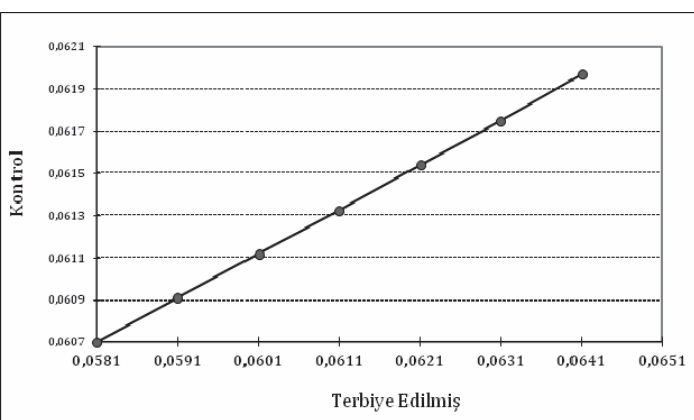


Şekil 6. Termal dirençlerinin karşılaştırılması

Kumaş numunelerinin termofizyolojik konfor özelliklerinin değerlendirilmesiyle ilgili bir fikir oluşması açısından, sonuçlar ünlü bir futbol takımının üniformalarında kullanılan spor giysilik kumaşıyla karşılaştırılmıştır [34]. Kumaş numunelerinin termal dirençleri ($0.060 \text{ m}^2\text{K}^\circ/\text{W}$ - $0.077 \text{ m}^2\text{K}^\circ/\text{W}$) arasında değişirken konforlu kontrol kumaşlarının termal dirençleri $0.088 \text{ m}^2\text{K}^\circ/\text{W}$ 'dır. Bu karşılaştırma ile termofizyolojik konfor özellikleri açısından kumaş numuneleri konforlu olarak değerlendirilebilir. Şekil 6'da kontrol ve işlem görmüş kumaşların termal dirençleri açısından bir karşılaştırması görülebilir. Kumaşların konstrüksiyonu, kalınlığı ve örtme faktörleri termofizyolojik konfor özelliklerini etkileyen önemli faktörler olduğu gözlemlenmiştir.

3.4. Numunelerin Termal Dirençleri Arasındaki Korelasyonu

Kontrol ve terbiye edilmiş numunelerin termal dirençleri ölçülmüş ve regresyon analizleri lineer formülü, $y = 0.2148x - 0.0482$, $R^2 = 0.9511$ şeklinde bulunmuştur. Bu sonuca göre, kontrol ve terbiye edilmiş numunelerin termal dirençleri arasında güçlü bir korelasyon olduğu gözlemlenmiştir (Şekil 7). Antimikrobiel terbiye işlemlerinin, termal dirençler üzerinde önemli bir etkisi olduğu bulunmuştur.



Şekil 7. Kontrol numunelerinden kitosanla işlem görmüş numunelerin termal dirençleri

3.5. DSC (Diferansiyel Tarama Kalorimetresi) Analizi

DSC analizleri, %1 kitosan ile çapraz bağlanan poliamid 66/elastan materyallerinin termal geçişlerinin belirlenmesi ve terbiye işleminden sonra poliamidin kristal yapısında herhangi bir değişiklik olup olmadığıının görüntülenmesi için gerçekleştirilmiştir (Şekil 8). Eğrinin altındaki alan 268.703 mJ, geçiş entalpisi 46.8124 J/g olarak ölçülmüştür. Erime sıcaklığı 258.88°C olarak test edilmiştir. Literatüre göre, %100 kristalin yapıya sahip poliamid 6,6 füzyon ısısının 191 J/g [36] ile 255 J/g arasında değiştiği görülmüştür [37]. Bu çalışmada bu değer 258.88 J/g biraz yüksek bulunmuş ve kitosanla işlem görmüş kumaşların yapısında çok az bir değişiklik olduğu gözlemlenmiştir.

3.6. Antimikrobiel Aktivite

Bakteri azalmasındaki yüzdeleri Tablo 5'de verilmiştir. Tüm numuneler çok iyi antimikrobiel aktivite göstermiştir.

Tablo 5. Bakteri oranlarındaki azalma

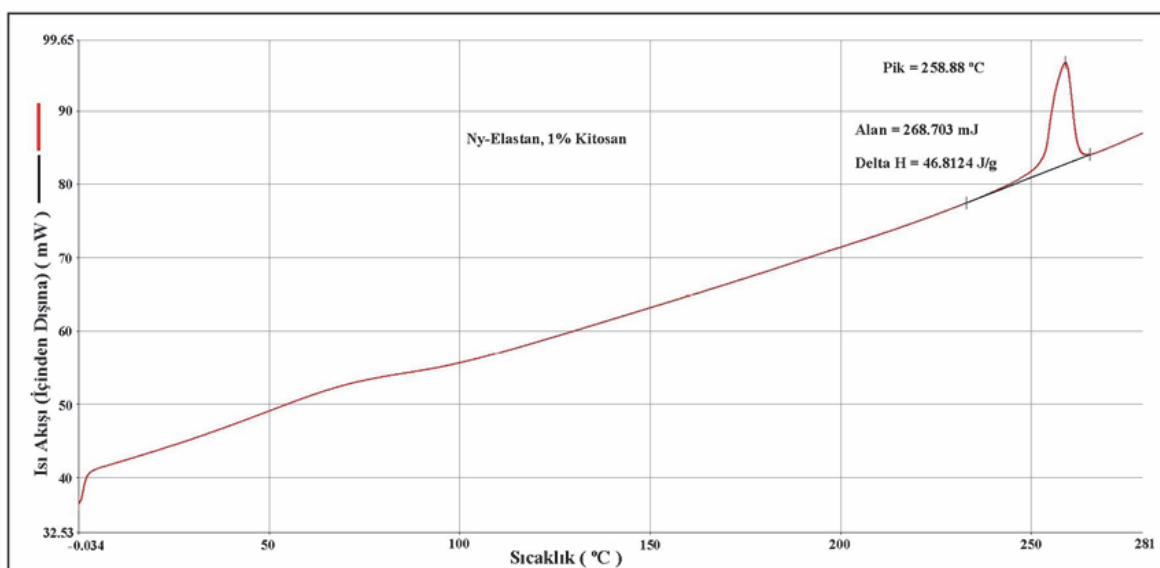
Kumaşlar	Powernet Çö zgülü	Düz Çö zgülü	Atkılı Örme
Kontrol	00.00	00.00	00.00
Kitosan ile İşlem Görmüş	99.96	99.85	99.78

4. SONUÇLAR

Konfor özellikleri, iki yıla kadar giyilmesi gereken kumaş numunelerinin antimikrobiel işleminden önce ve sonraki konfor performanslarını değerlendirmek için termal dirençler (R_{ct}) ve izolasyon özelliklerini (I_t) açısından araştırılmıştır. Sonuç olarak, kontrol ve işlem görmüş kumaşlar arasındaki korelasyon verilmiştir. Termofizyolojik test sonuçlarına göre kitosan antimikrobiel kimyasal ile terbiye işlemi görmüş numuneler termofizyolojik konfor sağlamaktadır. Powernet çö zgülü örme kumaşlar (0.394-0.400) değerleri ile en düşük termal direnci gösterirken, düz çö zgülü örme kumaşlar (0.495) değeri ile en yüksek termal direnci göstermiştir. Böylece powernet çö zgülü örme kumaşlar diğer kumaşlara göre daha iyi ısı transferi sağlayarak daha konforlu ortam sağlayacakları bulunmuştur.

Numunelerin DSC termogramları, poliamid 66/elastan üzerine çapraz bağlanmış kitosanın ve karışım/kopolimerleri (poliamid 66 ile eriyikten bağlanmış elastan)'ın kristalizasyonu çok az etkilediğini göstermiştir. Böylelikle kitosan ile terbiye işlemleri, kumaşlarda kullanılan poliamidin kristal yapısında önemli bir değişikliğe neden olmamıştır.

Bu sonuçlar, kitosanın çapraz bağlandığı terbiye işlemlerinden sonra numunelerin mikroklima sağlayarak ve hastaların aşırı terlemesini önleyerek konfor sağlayabileceklerini göstermiştir. Bu durum, yara iyileşme aşamasında enfeksiyon risklerini önleyerek alerjik reaksiyonu elimine ederek hijyenik bir ortam sağlayacaktır.



Şekil 8. %1 Kitosanla çapraz bağlanan poliamid 66/elastan numunelerin DSC termogramı

KAYNAKLAR

1. Yildiz, N., (2007), *A Novel Technique to Determine Pressure in Pressure Garments for Hypertrophic Burn Scars and Comfort Properties*, Burns, 33(1), 59-64.
2. Parkinson, J.M., Schofield B., (1999), *The Design of Pressure Garments for the Treatment of Hypertrophic Scarring Caused by Burns*, Medical Textiles International Conference.15, 25th of August, Bolton Institute, UK.
3. Bakker, A.B., Le Blanc P.M., Schaufeli W.B., (2005), *Burnout Contagion Among Intensive Care Nurses*, Journal of Advanced Nursing, 51(3), 276-287.
4. Harrigan, P., Lancet P., (1991), Australia: Pressure Garments for Burn Patients, *News & Comment*, 337(8748), 1-2.
5. Sau-Fun, Ng., Chi-Leung, H., Lai-Fan, W., (2011), *Development of Medical Garments and Apparel for the Elderly and the Disabled*, Textile Progress, 43(4), 235-285.
6. Kumar, R.J., Kimble, R.M., Boots, R., et al., (2004), *Treatment of Partial-thickness Burns: a Prospective, Randomized Trial Using Transcye*, Anz Journal of Surgery, 74(1), 622-626.
7. Partsch, H., (2005), *The Static Stiffness Index: A Simple Method to Assess the Elastic Property of Compression Material in Vivo*, The American Society for Dermatologic Surgery, 31(1), 625-630.
8. Teng, T., Chou K., (2006), *The Measurement and Analysis of the Pressure Generated by Burn Garments*, Journal of Medical and Biological Engineering, 26(4), 155-159.
9. Wegen-Franken, KVD., Roest, W., Tank B., et al. (2006), *Calculating the Pressure and the Stiffness in Three Different Categories of Class II Medical Elastic Compression Stockings*, The American Society for Dermatologic Surgery, 32(1), 216-223.
10. Wang, X., Kempf, M., Liu, P., et al., (2008), *Conservative Surgical Debridement as a Burn Treatment: Supporting Evidence from a Porcine Burn Model*, Wound Repair and Regeneration, 16(1), 774-783.
11. Hampton, S., (2003), *Elvarex Compression Garments in the Management of Lymphoedema*, British Journal of Nursing, 12(15), 925-929.
12. Attard, J., Rithalia, S., (2004), *A Review of the Use of Lycra Pressure Orthoses for Children with Cerebral Palsy*, International Journal of Therapy and Rehabilitation, 11(3), 120-126.
13. Lee, G., Rajendran S., Anand S., (2009), *New Single-Layer Compression Bandage System for Chronic Venous Leg Ulcers*, British Journal of Nursing, 18(15), 4-18.
14. Macintyre, L., Baird, M., Weetal P., (1999), *Elastic Fabrics for Use in Pressure Garments – Comfort Properties*, Medical Textiles International Conference. 4, 25th August, Bolton Institute, UK.
15. Bayley, E.W., Smith, G.A., (1987), *The Three Degrees of Burn Care*, Nursing, 17(3), 34-41.
16. News, (2008), "No Consensus on the Most Effective Burn Treatment", Paediatric Nursing, 20(9), 5.
17. Eldad, A., Salmon, Y.A., et al., (2003), *Flame Burn Protection: Assessment of a New, Air-Cooled Fireproof Garment*, Military Medicine, 68(8), 595-599.
18. Chou, T., Chen, S., Lee, T., et al. (2001), *Reconstruction of Burn Scar of the Upper Extremities with Artificial Skin*, Reconstruction of Burn Scar, 108(2), 378-384.
19. Zuhaili, B., Aflaki, P., Koyama, T., et al, (2010), *Meshed Skin Grafts Placed Upside Down can Take if Desiccation is Prevented*, Plastic and Reconstructive Surgery, 125(3), 855-865.
20. Gladfelter, J., (2007), *Compression Garments 101*, Plastic Surgery Nursing, Vol. 27(2), 73-74.
21. Chi, C.F., Lin, C.H., Yang, H.S., (2008), *The Casual Analysis of Requested Alterations for Pressure Garments*, Journal of Burn Care Research, 29(6), 965-974.
22. Chemical Name Index. *Textile Finishing Chemicals*, pp. 656-669.
23. Silver Green Products/ FAQ/ www.silver-green-products.us (25.6.2015).
24. Simoneic, B., Tomsic, B., (2010), *Structures of Novel Antimicrobial Agents for Textiles – a Review*, Textile Research Journal, Vol. 80(16), 1721- 1737.
25. Jayakumar, I.R., Prabaharan, M., Muzarelli, R.A.A., (2011), *Chitosan for Biomaterials II*, Springer-Verlag, Berlin, Heidelberg.
26. Sudardshan, N.R., Hoover, D.G., Knorr, D., (1992), *Antibacterial Action of Chitosan*, Food Biotechnology. 6(3), 257-272.
27. Lim, S.H., Hudson, S.M., (2003), *Review of Chitosan and Its Derivatives as Antimicrobial Agents and Their Uses as Textile Chemicals*, Journal of Macromolecular Science part c – Polymer Reviews. C43 (2), 223-269.
28. Jayakumar, R., Nwe, N., Tokura, S., Tamura, H., (2007), *Sulfated Chitin and Chitosan as Novel Biomaterials*, International Journal of Biological Macromolecules, Vol. 40 (3), 175-181.
29. Rinaudo, M., (2008), *Main Properties and Current Applications of Some Polysaccharides as Biomaterials*, Polymer International, 57, 397-430.
30. Mourya, V.K., Inamdar, N.N., (2008), *Chitosan – Modifications and Applications: Opportunities Galore*, Reactive and Functional Polymers, 68(6), 1013-1051.
31. Kurita, K., (2006), *Chitin and Chitosan: Functional Biopolymers from Marine Crustaceans*, Marine Biotechnology, 8(3), 203-226.
32. Hirano, S., (1999), *Chitin and Chitosan as Novel Biotechnological Materials*, Polymer International, 48, 732-4.
33. Yi, H., Wu, LQ., Bentley, W.E., Ghodssi, R., Rubloff, G.W., Culver, J.N., et al., (2005), *Biofabrication with Chitosan*, Biomacromolecules, 6, 2881-2894.
34. Anand, S., Kennedy, J. F., Miraftab, M., & Rajendran, S. (Eds.). (2005), *Medical Textiles and Biomaterials for Health Care*, Woodhead Publishing Ltd, Cambridge, England.
35. AATCC 100-2004, (2010), Standard Test Method for the Assessment of Antibacterial Finishes on Textiles, *American Association of Textile Chemists and Colorists*, Philadelphia, PA
36. Simal, A.L., Martin, A.R., (1998), *Structure of Heat-Treated Nylon 6 and 6.6 Fibres I: the Shrinkage Mechanism*, Journal of Applied Polymer Science, Vol. 68, 441–452.
37. Sinha, M.K., (2006), *An Investigation of Photodegradation of a Support Netting Used in the Conservation of Historic Textiles*, Heriot-Watt, Edinburgh.
38. ASTM F-1868-09, (2009), Standard Test Method for Thermal and Evaporative Resistance of Clothing Materials Using a Sweating Hot Plate, Part C, *American Association for Testing and Materials*, Philadelphia, PA.